

Modélisation de la fréquence du risque cyber à l'aide des processus de Hawkes

Yousra Zirnheld, Milliman R&D - CREST Ensae

Sous la direction de :

Alexandre Boumezoued, Milliman R&D

Caroline Hillairet, CREST Ensae

Congrès des actuaires

17 juin 2025



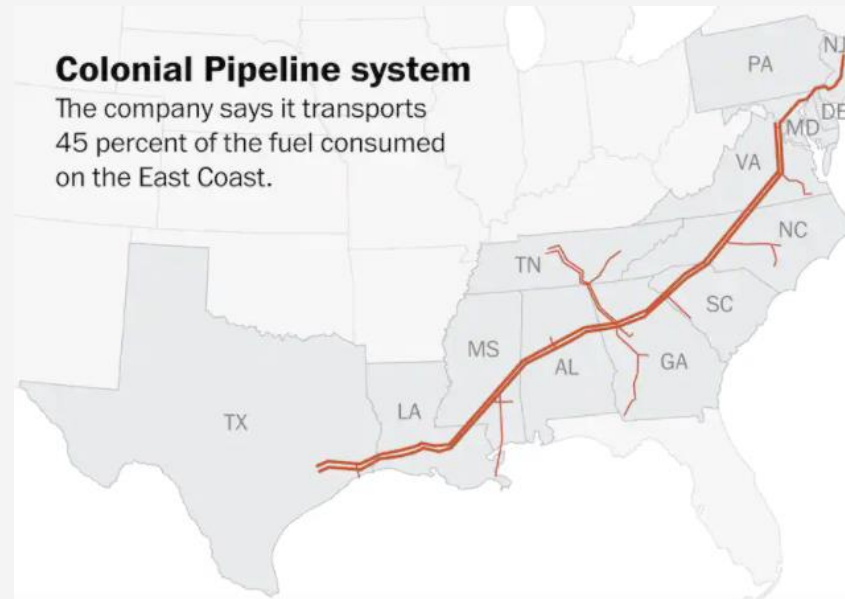
Risque cyber

Quelques exemples d'incidents numériques notables



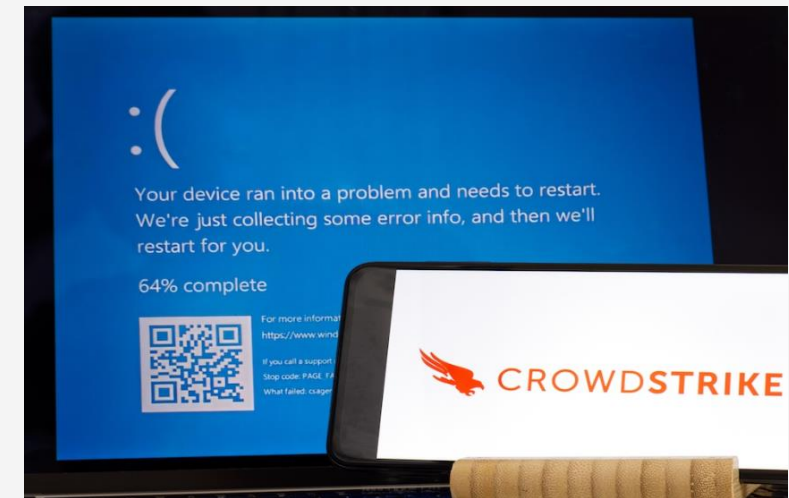
Wannacry/NotPetya (2017)

Attaque informatique



Colonial Pipeline (2021)

Attaque informatique



Crowdstrike (2024)

Incident informatique

Risque cyber

Et l'assurance dans tout ça ?

- Plusieurs types de couvertures sont proposées en lien avec les dommages occasionnés : **les dommages directs subis par l'assuré**, ceux pour lesquels il peut être tenu responsable, ainsi que **les frais supplémentaires engendrés par l'incident**.



- Mais à la différence d'autres risques assurables, **le risque cyber est systémique**, en constante évolution, multiforme et souvent sous-déclaré et souffre d'un manque de données historiques, ce qui complique fortement son évaluation.
- Pour y répondre, des **outils mathématiques avancés** sont nécessaires afin de **modéliser dynamiquement sa fréquence et sa sévérité**, et ainsi permettre **une tarification et une gestion du risque** plus fiables.

Objectifs de la thèse

Proposer des outils mathématiques pour modéliser la fréquence des attaques informatiques

1  **Modéliser l'impact des vulnérabilités informatiques sur les attaques**

 Les attaques informatiques peuvent survenir de l'exploitation des vulnérabilités informatiques

 *Processus de Hawkes avec excitation externe*

Modélisation de la fréquence à l'aide des processus de Hawkes

2  **Modéliser l'hétérogénéité dans la contagiosité**

 Les attaques informatiques ne se propagent pas de la même manière

 *Processus de Hawkes avec des marques aléatoires, Algorithmes CART avec des critères de split adaptés*

3  **Quantifier l'impact des mesures de réaction**

 Les conséquences des attaques peuvent être limitées grâce à une réaction rapide et adaptée

 *Processus de Hawkes en deux phases*

Modélisation de la fréquence des cyber-attaques

Processus de Hawkes

Le **nombre de sinistres** à l'instant t (**Composante fréquence**)

Perte totale d'un portefeuille cyber $\dashrightarrow L(t) := \sum_{i=1}^{N_t} Y_i \dashleftarrow$ Le coût du $i^{\text{ème}}$ sinistre (Composante sévérité)

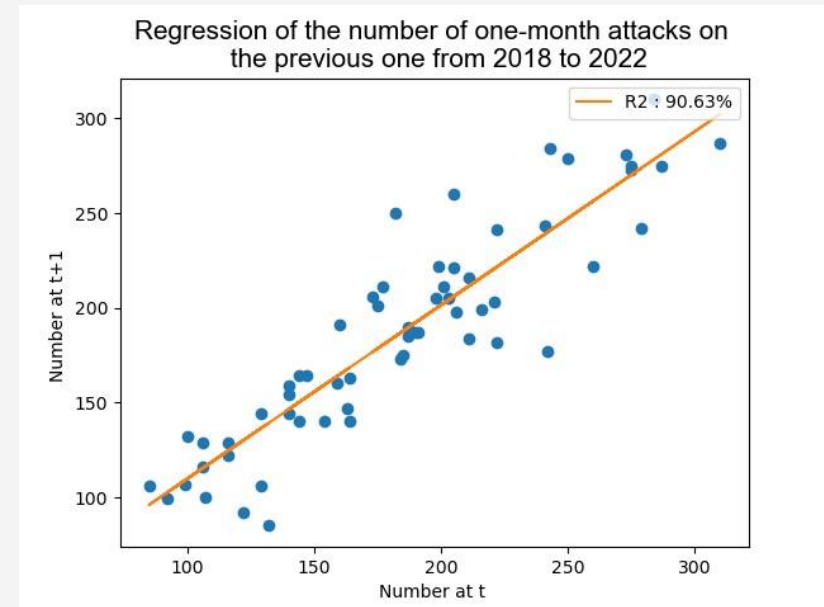
- Un **processus de Hawkes** est un processus de comptage

$N(t) = \sum_{n \geq 1} 1_{T_n \leq t}$ avec une intensité de la forme:

$$\lambda_t = \lambda_0 + \sum_{T_i < t} \phi(t - T_i)$$

Intensité de base λ_0 Noyau d'excitation $\phi(t - T_i)$

- La somme $\sum_{T_n < t} \phi(t - T_n)$ représente **l'impact des évènements passés** et capture la propriété d'**auto-excitation**. Ces processus modélisent **l'arrivée d'évènements en cascade** et des **changements de régime**.
- Ils sont **paramétriques** et **tractables**



Modélisation de la fréquence des attaques informatiques

Processus de Hawkes avec excitation externe

1 **Modéliser l'impact des vulnérabilités informatiques sur les attaques**

Les attaques informatiques peuvent survenir de l'exploitation des vulnérabilités informatiques

Processus de Hawkes avec excitation externe :

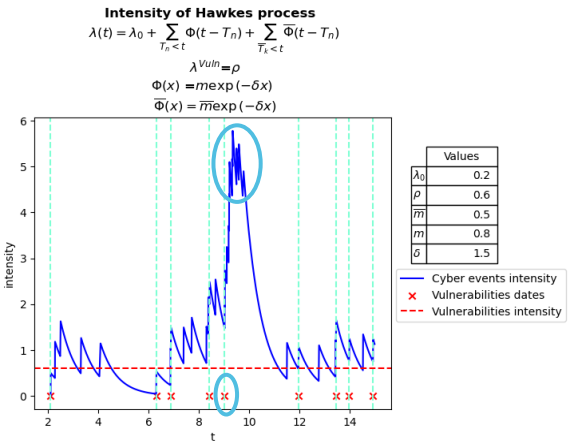
$$\lambda_t = \lambda_0 + \sum_{\bar{T}_k < t} \bar{\phi}(t - \bar{T}_k) + \sum_{T_i < t} \phi(t - T_i)$$

Modélisation de la fréquence à l'aide des processus de Hawkes

2 **Modéliser l'hétérogénéité dans la contagiosité**

Les attaques informatiques ne se propagent pas de la même manière

Processus de Hawkes avec des marques aléatoires, Algorithmes CART avec des critères de split adaptés



3 **Quantifier l'impact des mesures de réaction**

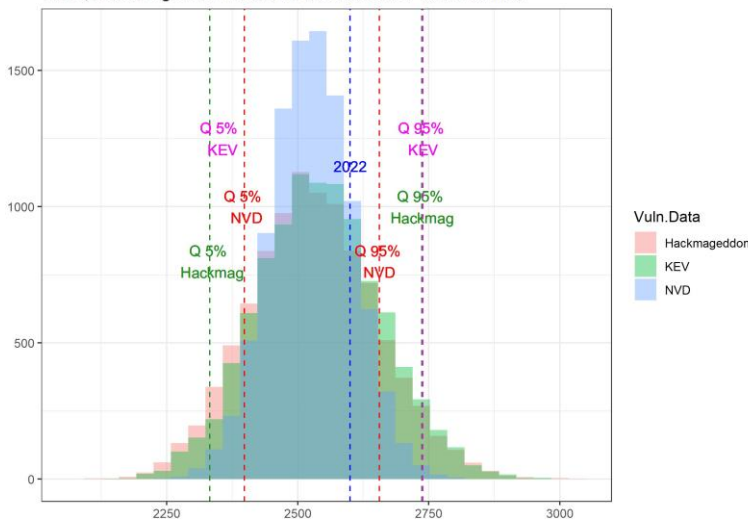
Les conséquences des attaques peuvent être limitées grâce à une réaction rapide et adaptée

Processus de Hawkes en deux phases

Quelques résultats de calibrage

Model	Vuln. database	λ_0	ρ	\bar{m}	m	δ	$\ \phi\ $
No external events	-	2.7031	-	-	0.9182	1.5047	0.61
	95% C.I	[2.4863,2.9199]	-	-	[0.8608, 0.9756]	[1.1723, 1.8371]	-
With external events	Hackmageddon	2.7081	0.3636	0.5941	0.8891	1.5080	0.58
	95% C.I	[2.4873,2.9289]	[0.3180, 0.4092]	[0.3484, 0.8398]	[0.6909, 1.0873]	[1.1649, 1.8511]	-
With external events	KEV	2.6964	0.5057	0.9774	0.8529	1.5061	0.56
	95% C.I	[2.4229, 2.9699]	[0.4527, 0.5587]	[0.4388, 1.2282]	[0.6734, 1.1048]	[1.1921, 1.8239]	-
With external events	NVD	2.4195	48.849	0.077413	0.67139	1.8697	0.36
	95% C.I	[2.1573,2.6817]	[48.2987,49.1993]	[0.01211,0.1427]	[0.4985,0.8442]	[1.3998,2.3396]	-

Distribution of the number of attacks predicted in one year
NVD, Hackmageddon and KEV databases for vulnerabilities



- Le calibrage a été effectué à partir **des bases de données** suivantes : **Hackmageddon** (attaques), **NVD** et **KEV** (vulnérabilités informatiques).
- $\|\phi\|$ (le degré d'endogénéité du système) représente **le nombre moyen d'attaques** qu'une attaque va engendrer.
- $\|\phi\|$ est presque **réduit de moitié entre le modèle sans excitation externe** et le modèle avec excitation externe provenant de la base de données NVD.

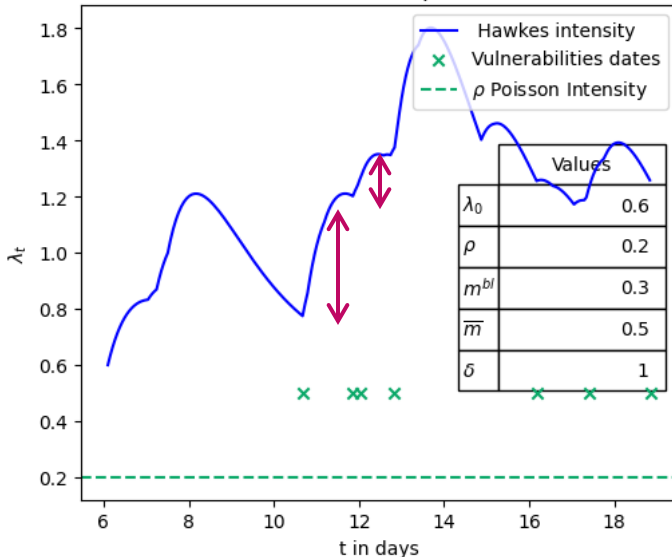
Modélisation de la fréquence des attaques

Processus de Hawkes avec excitation externe et marques aléatoires

1 Modéliser l'impact des vulnérabilités informatiques sur les attaques

Les attaques informatiques peuvent survenir de l'exploitation des vulnérabilités informatiques

Intensity λ_t of a Hawkes process with an erlang kernel and random exp marks



Modélisation de la fréquence à l'aide des processus de Hawkes

2 Modéliser l'hétérogénéité dans la contagiosité

Les attaques informatiques ne se propagent pas de la même manière

Processus de Hawkes avec des marques aléatoires

$$\lambda_t = \lambda_0 + \sum_{\bar{T}_k < t} \bar{\phi}(t - \bar{T}_k, \bar{Y}_k) + \sum_{T_i < t} \phi(t - T_i, Y_i)$$

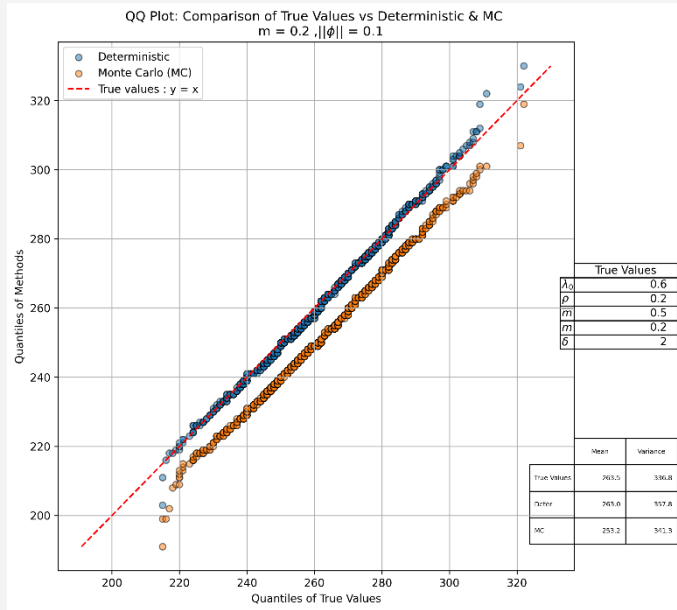
3 Quantifier l'impact des mesures de réaction

Les conséquences des attaques peuvent être limitées grâce à une réaction rapide et adaptée

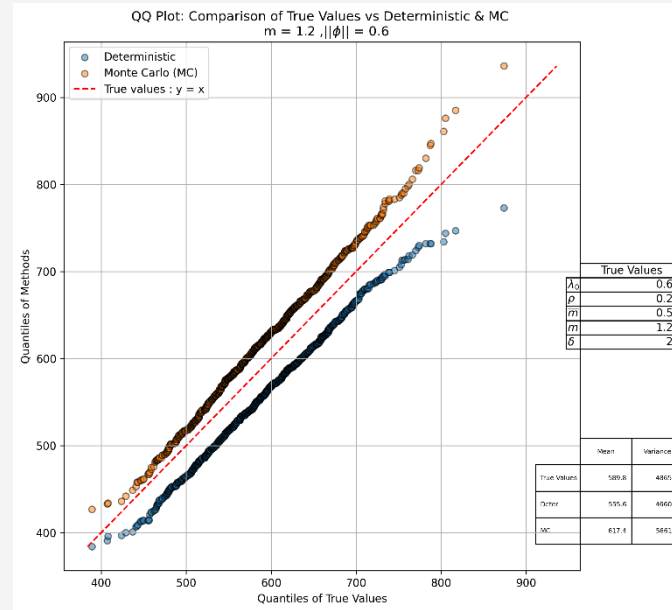
Processus de Hawkes en deux phases

Développement de méthodes de calibrage adaptées

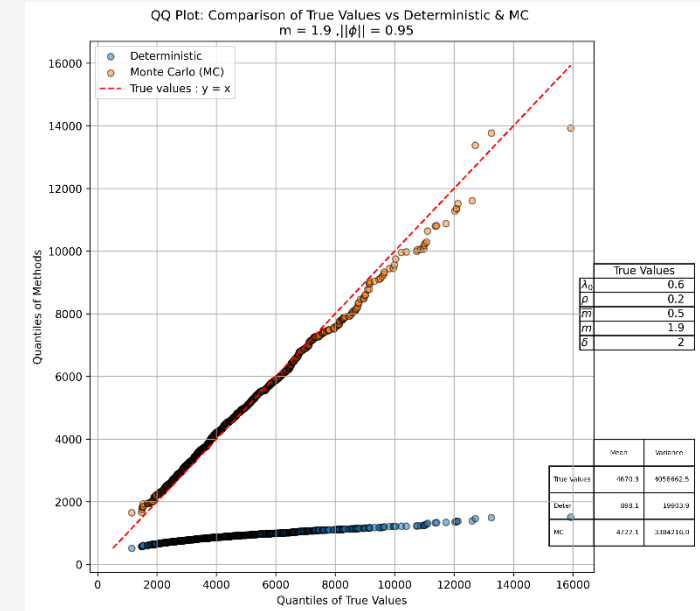
Quelques résultats sur les distributions prédites



Petite variance



Variance moyenne



Variance élevée

- Le choix de la méthode de calibrage dépend de la contagiosité des attaques considérées.

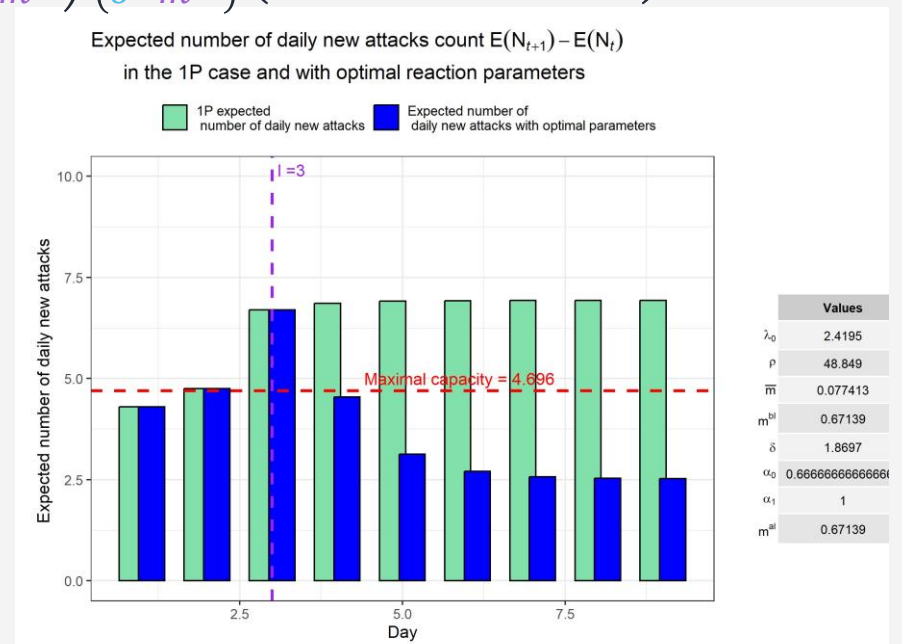
Mesures de réaction à l'aide la deuxième phase

Sélection de paramètres optimaux

For $t > \ell > s$:

$$\mathbb{E}[N_t | \mathcal{F}_s] = \begin{cases} \mathbb{E}[N_\ell | \mathcal{F}_s] + \frac{\alpha_0 \delta \lambda_0}{2} (t - \ell)^2 + \lambda_0 (\alpha_0 - \alpha_1) (t - \ell) + \alpha_1 \mathbb{E}[\lambda_{\ell-} | \mathcal{F}_s] (t - \ell) & \text{if } \delta = m^{al} \\ \mathbb{E}[N_\ell | \mathcal{F}_s] + \frac{\alpha_0 \delta \lambda_0}{\delta - m^{al}} (t - \ell) + \left((\alpha_0 - \alpha_1) \lambda_0 + \alpha_1 \mathbb{E}[\lambda_{\ell-} | \mathcal{F}_s] - \frac{\alpha_0 \delta \lambda_0}{\delta - m^{al}} \right) \frac{1}{(\delta - m^{al})} \left(1 - e^{-(\delta - m^{al})(t - \ell)} \right) & \text{if } \delta \neq m^{al} \end{cases}$$

- **Assureur fictif avec une capacité de réaction limitée** à 5 assurés par jour
- Calculer **les paramètres de réponse** adéquats de manière **à ne pas dépasser cette capacité** en moyenne.



Conclusion



- Comprendre le lien entre vulnérabilités et attaques : modélisation via un processus de Hawkes avec excitation externe
- Capter l'hétérogénéité des dynamiques d'attaque : utilisations de marques aléatoires et des arbres aléatoires CART (non détaillé dans cette présentation)
- Evaluer l'impact des mesures de réaction : intégration d'une phase de réaction dans le modèle pour quantifier ces effets
- Objectif global : fournir des outils mathématiques pour quantifier ce risque